

Piotr BEDNORZ

ZASTOSOWANIE FIZYKALNIE NIELINIOWEJ TEORII NAPRĘŻEŃ CIEPLNYCH  
W OŚRODKACH GRAFITOWYCH

## II. ANALITYCZNY OPIS KRZYWYCH ODKSZTAŁCENIA

**Streszczenie.** W pracy zaproponowano ciągi iteracyjnych równań konstytutywnych, które opisują zależności między tensorami naprężeń i odkształceń; równania te przedstawiają nieliniowe związki Kauderera.

1. Wstęp

Równania konstytutywne dla ośrodków grafitowych zostały zaproponowane dopiero niedawno, por. [8], [10]. Pierwsze próby opisu zachowania się takich ośrodków - z punktu widzenia mechaniki ośrodków ciągłych - sugerowały wykorzystanie teorii fizykalnie nieliniowej Kauderera. Teoria fizykalnie nieliniowa może być rzeczywiście wykorzystana, lecz jedynie jako pierwsze przybliżenie, w którym pomija się wiele wpływów, m.in. anizotropii. W pracach [8], [9], [10] zaproponowano pewną modyfikację teorii Kauderera. Wprowadzono tam pewną funkcję intensywności odkształceń, niezależną od stanu naprężeń i od kierunku obciążeń. Bardzo głębokie ujęcie teorii fizykalnie nieliniowych znajduje się w monografiach [11], [12]. W przedstawionej tutaj pracy ze względu na złożony charakter równań konstytutywnych - wprowadzono ciągi iteracyjne tych równań; doprowadziło to do ciągu równań przedstawionych przez Kauderera.

2. Równania konstytutywne

Badania doświadczalne wykazują, że dla ośrodków grafitowanych nie są spełnione założenia teoretyczne fizykalnie nieliniowej teorii Kauderera, por. [4], [7], [8]. Doświadczalnie nie możemy więc potwierdzić dwóch następujących założeń teoretycznych.

1<sup>o</sup> Wymagana jest zgodność kierunków tensora podobieństwa naprężenia  $\hat{S}_{ij}$  i odkształcenia  $\hat{e}_{ij}$

$$\hat{S}_{ij} = \hat{e}_{ij},$$

(2.1)

gdzie:

$$\hat{S}_{ij} = \frac{s_{ij}}{\sigma_{(1)}}, \quad \hat{\epsilon}_{ij} = \frac{\epsilon_{ij}}{\epsilon_{(1)}} \quad (2.1)$$

2° Żądamy, aby zależności  $\sigma_{(1)} = \sigma_{(1)}(\epsilon_{(1)})$ ,  $\sigma_0 = \sigma_0(\epsilon_0)$  miały charakter niezmienniczy względem dowolnego stanu naprężenia; warunek 2° zapisujemy zwykle w postaci

$$\frac{\sigma_{(1)}}{\epsilon_{(1)}} = 2G(\epsilon_{(1)}), \quad \frac{\sigma_0}{\epsilon_0} = 3K(\epsilon_0), \quad (2.2)$$

lub w postaci zależności odwrotnych, w stosunku do (2.2)

$$\frac{\epsilon_{(1)}}{\sigma_{(1)}} = \frac{1}{2G(\sigma_{(1)})}, \quad \frac{\epsilon_0}{\sigma_0} = \frac{1}{3K(\sigma_0)}. \quad (2.2)$$

Opierając się na wynikach badań doświadczalnych (por. [7], [8], [12]), przyjmujemy dla ośrodków grafitowych warunek 2° w postaci zmodyfikowanej; warunek 1°, mimo iż nie jest w pełni spełniony, przyjmujemy w postaci niezmienniczej, por. równanie (2.1). Przyjmujemy więc:

$$1^\circ \hat{S}_{ij} = \hat{\epsilon}_{ij}$$

2° Funkcje  $\sigma_0(\epsilon_0)$ ,  $\varphi_\Sigma(\epsilon_{(1)})$ ,  $\epsilon_0(\sigma_0)$ ,  $\epsilon_{(1)}(\varphi_\Sigma)$  nie zależą od stanu naprężenia i odkształceń.

Funkcja  $\varphi_\Sigma(\epsilon_{(1)})$  jest określona wzorem

$$\varphi_\Sigma(\epsilon_{(1)}) = \sqrt{3/2} \sigma_{(1)} \alpha + (1-\alpha)\sigma_1, \quad (2.3)$$

gdzie:  $\sigma_1$  jest maksymalną składową naprężeń głównych,  $\alpha$  - określamy jako wartość graniczną ilorazu  $\sigma_r/\sigma_s$ , gdzie  $\sigma_r$  - naprężenie przy jednoosiowym rozciąganiu, a  $\sigma_s$  - naprężenie przy jednoosiowym ścisaniu. Badania doświadczalne, por. [8], [12], potwierdzają niezmienniczy charakter funkcji  $\varphi_\Sigma(\epsilon_{(1)})$ .

Naprężenia główne  $\sigma_1$  można przedstawić w postaci

$$\sigma_1 = \hat{S}_1 \sigma_{(1)} + \sigma_0. \quad (2.4)$$

Po uwzględnieniu w równaniu (2.3) równania (2.4) uzyskamy

$$\varphi_\Sigma(\epsilon_{(1)}) = \alpha \sqrt{3/2} \sigma_{(1)} + (1-\alpha)\hat{S}_1 \sigma_{(1)} + (1-\alpha)\sigma_0.$$

skąd przyjmując, że  $\hat{S}_1 = \hat{e}_1$  - por. zał. 1<sup>o</sup> - otrzymamy

$$\sigma_{(1)} = \frac{\eta_{\Sigma} - (1-\alpha)\sigma_0}{\alpha\sqrt{3/2} + (1-\alpha)\hat{e}_1} \quad (2.5)$$

Dalej otrzymujemy

$$\frac{\sigma_{(1)}}{\varepsilon_{(1)}} = \overline{2G}(\varepsilon_{(1)}, \varepsilon_0, \hat{e}_1) = \frac{\eta_{\Sigma}(\varepsilon_{(1)}) - (1-\alpha)\sigma_0(\varepsilon_0)}{(\alpha\sqrt{3/2} + (1-\alpha)\hat{e}_1)\varepsilon_{(1)}} \quad (2.5)$$

Z założeń 1<sup>o</sup> i 2<sup>o</sup> mamy

$$s_{ij} = e_{ij} \overline{2G}(\varepsilon_{(1)}, \varepsilon_0, \hat{e}_1), \quad \sigma_0 = 3K(\varepsilon_0)\varepsilon_0 \quad (2.6)$$

Przedstawiając tensor naprężeń jako sumę dwiatora i części kulistej, otrzymujemy:

$$\sigma_{ij} = e_{ij} \frac{\eta_{\Sigma}(\varepsilon_{(1)}) - (1-\alpha)3K(\varepsilon_0)\varepsilon_0}{(\alpha\sqrt{3/2} + (1-\alpha)\hat{e}_1)\varepsilon_{(1)}} + \delta_{ij}\varepsilon_0(3K(\varepsilon_0)) \quad (2.7)$$

Podstawiając

$$e_{ij} = \hat{e}_{ij} = \delta_{ij}\varepsilon_0 \quad (2.7)$$

po przekształceniach otrzymamy

$$\sigma_{ij} = \varepsilon_{ij} \frac{\eta_{\Sigma}(\varepsilon_{(1)}) - (1-\alpha)3K(\varepsilon_0)\varepsilon_0}{(\alpha\sqrt{3/2} + (1-\alpha)\hat{e}_1)\varepsilon_{(1)}} - \delta_{ij}\varepsilon_0(3K(\varepsilon_0)) - \frac{\eta_{\Sigma}(\varepsilon_{(1)}) - (1-\alpha)3K(\varepsilon_0)\varepsilon_0}{(\alpha\sqrt{3/2} + (1-\alpha)\hat{e}_1)\varepsilon_{(1)}} \quad (2.8)$$

W celu uzyskania relacji odwrotnej, tj. odkształcenie - naprężenie, funkcję odwrotną do funkcji  $\eta_{\Sigma}(\varepsilon_{(1)})$  należy przyjąć w postaci

$$\varepsilon_{(1)} = \frac{\sigma_{(1)}(\eta_{\Sigma})}{\sigma_{(1)}} \sigma_{(1)} = \frac{\varepsilon_{(1)}(\sigma_{(1)})\alpha\sqrt{3/2} + (1-\alpha)\hat{e}_1}{\sigma_{(1)}} \quad (2.9)$$

Postępując analogicznie jak uprzednio, otrzymujemy

$$\varepsilon_{ij} = \frac{\varepsilon_{(1)}(\eta_{\Sigma})\sigma_{ij}}{\sigma_{(1)}} + \frac{1}{3K(\varepsilon_0)} - \frac{\varepsilon_{(1)}(\eta_{\Sigma})}{\sigma_{(1)}} \delta_{ij}\varepsilon_0 \quad (2.10)$$

Równania (2.8), (2.10) możemy przedstawić w postaci

$$\sigma_{ij} = \epsilon_{ij} \overline{2G}(\epsilon_{(1)}, \epsilon_o, \hat{\epsilon}_1) + \delta_{ij} \epsilon_o (3K(\epsilon_o) - \overline{2G}(\epsilon_{(1)}, \epsilon_o, \hat{\epsilon}_1)), \quad (2.11)$$

$$\epsilon_{ij} = \sigma_{ij} \frac{1}{\overline{2G}(\epsilon_{(1)}, \epsilon_o, \hat{\epsilon}_1)} + \delta_{ij} \sigma_o \frac{-1}{\overline{2G}(\epsilon_{(1)}, \epsilon_o, \hat{\epsilon}_1)} + \frac{1}{3K(\epsilon_o)}$$

Równania (2.11) są analogiczne do równań nieliniowej teorii Kauderera, ze względu jednak na to, że  $\overline{2G} = \overline{2G}(\epsilon_{(1)}, \epsilon_o, \hat{\epsilon}_1)$  jest funkcją nie tylko  $\epsilon_{(1)}$ , nie możemy w pełni korzystać z tej teorii.

By umożliwić pełne wykorzystanie wyników teorii Kauderera, wprowadzamy tensor  $F_{ij}$  - określony jako tensor przybliżony; przyjmujemy, że

$$F_{ij} = F_{(1)} \hat{E}_{ij} + \delta_{ij} F_{kk}, \quad (2.12)$$

gdzie:

$$F_{(1)} = \nu \sum \sqrt{3/2}, \quad \hat{E}_{ij} = \hat{S}_{ij}, \quad F_{kk} = \sigma_{kk}, \quad F_o = \sigma_o. \quad (2.12)$$

Z równości (2.12) i (2.3) mamy

$$F_{(1)} = \sigma_{(1)} \chi + m \sigma_{(1)} \hat{E}_1 + m F_o, \quad (2.13)$$

gdzie w równaniu (2.13) przyjęto  $m = (1-\chi)/\sqrt{3/2}$ .

Mnożąc (2.13) przez  $\hat{S}_{ij}$  i dodając  $1/3 \delta_{ij} F_{kk}$ , otrzymujemy

$$F_{ij} = (\chi + m \hat{E}_1) S_{ij} + m F_o \hat{E}_{ij} + \delta_{ij} F_o (1 - \chi - m \hat{E}_1) \quad (2.14)$$

Wykorzystując rozbitcie tensora  $\sigma_{ij}$  na część dewiatorową i kulistą, a także równanie (2.12)<sub>2</sub> otrzymamy po przekształceniach

$$\begin{aligned} \sigma_{ij} = & F_{ij} + F_{ij} \left( \frac{1}{\chi + m \hat{E}_1} \left( 1 - \frac{F_o m}{F_{(1)}} \right) - 1 \right) + \\ & - \delta_{ij} F_o \left( \frac{1}{\chi + m \hat{E}_1} \left( 1 - \frac{F_o m}{F_{(1)}} \right) - 1 \right). \end{aligned} \quad (2.15)$$

Równanie (2.15) skrótowo możemy zapisać

$$\sigma_{ij} = F_{ij} + F_{ij} h(\hat{E}_1, F_0, F_{(1)}) - \delta_{ij} F_0(\hat{E}_1, F_0, F_{(1)}), \quad (2.16)$$

Wykorzystując wzór (2.16), możemy powiązać tensor  $F_{ij}$  z działającym polem obciążeń

$$\sigma_{ij,j} + X_i = F_{ij,j} + F_{ij,j} h + F_{ij} h_{,j} - \delta_{ij} F_{0,j} h - \delta_{ij} F_0 h_{,j} + X_i = 0, \quad (2.17)$$

$$\sigma_{ij} n_j = F_{ij} n_j + F_{ij} n_j h - F_0 h \delta_{ij} n_j = X_i.$$

Dla tensorów  $F_{ij}$  i  $\varepsilon_{ij}$  wprowadzamy równania konstytutywne Kauderera w postaci

$$F_{ij} = \varepsilon_{ij} 2G(\varepsilon_{(1)}) + (3K(\varepsilon_0) - 2G(\varepsilon_{(1)})) \varepsilon_0 \delta_{ij},$$

$$\varepsilon_{ij} = \frac{1}{2G(F_{(1)})} + \frac{1}{3K(F_0)} - \frac{1}{2G(F_{(1)})} F_0 \delta_{ij}. \quad (2.18)$$

Rozpatrując jednoosiowe rozciąganie, stwierdzamy, że  $F_{(1)} = \sigma_{(1)} = \sqrt{2/3} \sigma_x$ . Wynika stąd, iż przyjęcie równości  $\sigma_{ij} = F_{ij}$  i  $h = 0$  jest równoznaczne z proponowanym przez W.J. Strokowa i W.N. Barabonowa (por. [12]) zastosowaniem zależności  $\sigma_{(1)} = \sigma_{(1)}(\varepsilon_{(1)})$ ,  $\varepsilon_{(1)} = \varepsilon_{(1)}(\sigma_{(1)})$  do budowy równań konstytutywnych typu Kauderera. Dalej zakładamy, że przyjmując  $h = 0$ , możemy wyznaczyć tensor  $F_{ij} = F_{ij}^{(o)}$  i  $\varepsilon_{ij} = \varepsilon_{ij}^{(o)}$ , wykorzystując warunki równowagi w postaci (2.17) i równania konstytutywne (2.18); przyjmujemy również, że tensor  $F_{ij}^{(o)}$  jest równy pierwszemu przybliżeniu tensora naprężeń  $\sigma_{ij} = F_{ij}^{(o)}$ .

Dalejzych przybliżeń szukamy przyjmując

$$F_{ij}^{(n)} = \varepsilon_{ij}^{(n)} 2G(\varepsilon_{(1)}^{(n)}) + (3K(\varepsilon_0^{(n)}) - 2G(\varepsilon_{(1)}^{(n)})) \varepsilon_0^{(n)} \delta_{ij},$$

$$\varepsilon_{ij}^{(n)} = \frac{1}{2G(F_{(1)}^{(n)})} + \frac{1}{3K(F_0^{(n)})} - \frac{1}{2G(F_{(1)}^{(n)})} F_0^{(n)} \delta_{ij}. \quad (2.19)$$

$$\sigma_{ij}^{(n)} = F_{ij}^{(n)} + F_{ij}^{(n)} h - \delta_{ij} F_0^{(n)} h.$$

$$F_{ij}^{(n)} + X_i^{(n-1)} = 0,$$

$$F_{ij}^{(n)} n_j = X_i^{(n-1)};$$

gdzie:

$$X_i^{(n-1)} = X_i^{(n-1)} + F_{ij,j}^{(n-1)} h + F_{ij}^{(n-1)} h_{,j} - \delta_{ij} F_{o,j}^{(n-1)} h - \delta_{ij} F_o^{(n-1)} h$$

$$X_i^{(n-1)} = - F_{ij}^{(n-1)} n_j h - \delta_{ij} n_j F_o^{(n-1)} h + X_i^{(n-1)}.$$
(2.20)

Można wykazać, że związki konstytutywne (2.11), (2.18) są równoważne; uzyskujemy to, wstawiając do równań (2.11) za  $\delta_{ij}$  wyrażenie (2.16), a wtedy otrzymujemy (2.18).

Przy założeniu, że funkcje  $\eta_{\Sigma}(\epsilon_{(1)})$ ,  $\delta_o(\epsilon_o)$  i funkcje odwrotne w pewnych przedziałach temperatur nie zależą w sposób jawny od temperatury, możemy dołączyć człony wynikające ze zmian temperatury, por. [3]; dla większości przypadków grafitu współczynnik rozszerzalności liniowej  $\alpha(\theta)$  ( $\alpha(\theta)$  - jest współczynnikiem średnim  $\alpha_s(\theta)$  lub też  $\alpha_H(\theta)$  - współczynnikiem w kierunku ułożenia warstw krystalicznych grafitu lub  $\alpha_{\perp}$  - współczynnikiem w kierunku prostopadłym do nich) jest funkcją przyrostu temperatury, przedziałami liniową, por. [13], czyli  $\alpha(\theta) = \theta + b$ .

Równania konstytutywne (2.18) po dołączeniu członów desypacyjnych mają postać

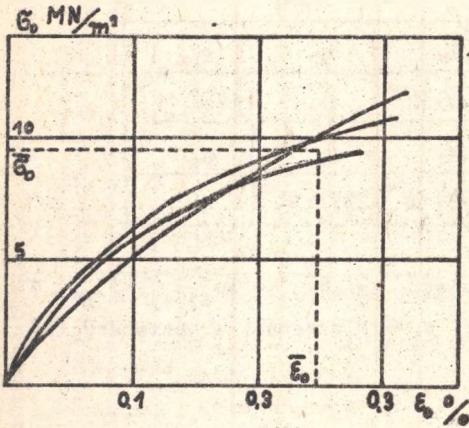
$$\epsilon_{ij} = \frac{1}{2G(F_{(1)})} F_{ij} + \frac{1}{3K(F_o)} - \frac{1}{2G(F_{(1)})} F_o \delta_{ij} + (a+b\theta) \delta_{ij} \theta,$$
(2.21)

$$F_{ij} = \epsilon_{ij} 2G(\epsilon_{(1)}) + (3K(\epsilon_o - (a+b\theta)\theta) (\epsilon - (a+b\theta)\theta) \delta_{ij} - 2G(\epsilon_{(1)}) \epsilon_o \delta_{ij}.$$

Równania (2.11) wzbogacone o czynnik termiczny są analogiczne do równań (2.21).

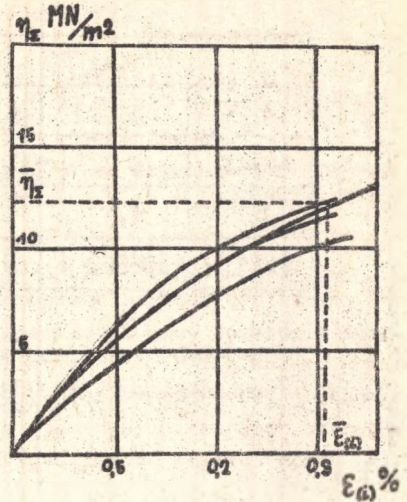
### 3. Aproksymacja wielomianowa

Wykresy przedstawione na rysunkach 1, 2, przedstawiają zależności  $\delta_o(\epsilon_o)$ ,  $\eta_{\Sigma}(\epsilon_{(1)})$  dla grafitu ARW, por. [12]. Jeżeli odkształcenia w danej konstrukcji spełniają warunek  $\epsilon_o \in (0, \epsilon_o) \wedge \epsilon_{(1)} \in (0, \epsilon_{(1)})$ , to krzywe na ry-



Rys. 1

1 - dwuosiowe rozciąganie równierne, 2 - dwuosiowe rozciąganie nierównierne, 3 - jednoosiowe rozciąganie



Rys. 2

1 - jednoosiowe rozciąganie, 2 - jednoosiowe ściekanie, 3 - ściskanie, 4 - dwuosiowe rozciąganie nierównierne, 5 - dwuosiowe rozciąganie równierne

sunkach 1, 2 możemy aproksymować wielomianami danego stopnia. Większość gatunków grafitu ma zbliżony przebieg krzywych odkształcenia do krzywych z rysunku 1, 2 odpowiadających grafitowi ARW; oczywiście występują tutaj różnice w wartościach liczbowych, lecz kształt krzywych jest podobny (liczne przykłady - por. [4], [7], [12]). Wystarczającą dokładność daje przyjęcie funkcji  $\sigma_0(\epsilon_0) \cdot \varphi_{\Sigma}(\epsilon_1)$  w postaci wielomianów trzeciego stopnia.

Równania konstytutywne z wykorzystaniem aproksymacji wielomianowej mają postać

$$\epsilon_{1j} = F_{1j}(b_{1F} + b_{2F}F(1) + b_{3F}F^2(1)) + \delta_{1j}F_0(d_1 + d_2F_0 + d_3F_0^2 - b_{1F} - b_{2F}F(1) - b_{3F}F^2(1)) + (a+b\theta)\delta_{1j}\theta,$$

$$F_{1j} = \epsilon_{1j}(a_{1F} + a_{2F}\epsilon(1) + a_{3F}\epsilon^2(1)) + \delta_{1j}(c_1 + c_2(\epsilon_0 - (a+b\theta)\theta) + c_3(\epsilon_0 - (a+b\theta)\theta)^2 - (\epsilon_0 - (a+b\theta)\theta) - \delta_{1j}\epsilon_0(a_{1F} + a_{2F}\epsilon(1) + a_{3F}\epsilon^2(1))).$$

Przykładowe dla grafitu ARW wyniki aproksymacji przedstawione są w tabelicy 1, por. [1].

Tablica 1

$\text{MN}/\text{m}^2$			$(\text{MN}/\text{m}^2)^{-1}$		
$a_{1F}$	$a_{2F}$	$a_{3F}$	$b_{1F}$	$b_{2F}$	$b_{3F}$
4084.5	0	$-121 \cdot 10^8$	$2.446 \cdot 10^{-10}$	0	$1466 \cdot 10^{-10}$
$c_1$	$c_2$	$c_3$	$d_1$	$d_2$	$d_3$
6082.2	-806580	0	$1.644 \cdot 10^{-10}$	$1920 \cdot 10^{-10}$	0

Przy obliczeniach współczynników przyjęto, że  $\epsilon_{(1)} = \sqrt{\epsilon_{1j}^0 \epsilon_{1j}}$ ,  $\sigma_{(1)} = \sqrt{s_{1j}^0 s_{1j}}$  oraz że  $3K(\epsilon_0)\epsilon_0$ ,  $\sigma_0/3K(\sigma_0)$  są wielomianami stopnia drugiego.

#### 4. Wnioski końcowe

1. Materiały takie jak grafit charakteryzują się silną nieliniowością fizykalną, której nie można w ogólności opisać nieliniowością typu Kauderera.
2. Ze względu na bardzo złożony kształt nieliniowości fizykalnej (wpływ naprężenia głównego czy też odkształcenia -  $\epsilon_1$ ), zaproponowano iteracyjne równania konstytutywne, które po tej modyfikacji okazały się równaniami Kauderera.
3. Do rozwiązania zadanie należy wprowadzić podwójny proces iteracyjny, jeden w równaniach konstytutywnych, drugi w równaniach problemu brzegowego.
4. Problem aproksymacji funkcjami danych pomiarowych potraktowany został szkieletowo, stanowi to bowiem osobny temat, wymagający opracowania odpowiednich programów.

#### LITERATURA

- [1] Bednorz P.: Zastosowanie fizykalnie nieliniowej teorii naprężeń cieplnych w ośrodkach grafitowych. Omówienie badań doświadczalnych. Zesz. Nauk. Pol. Śl., Mat.-Fiz., 1979.
- [2] Bednorz P.: Termosprężystość nieliniowa w ośrodkach grafitowych. Praca mg., Pol. Śl., Mat.-Fiz., 1978.
- [3] Borkowski Sz.: Dynamical equations of physically nonlinear thermoelasticity, Bull. Acad. Polon. Sci., Ser. sci. tech. 9, 24 (1976), 655-662.
- [4] Coffin L.F., Shentzady J.R.: The flow and fracture of a brittle material, Journal of Applied Mechanics, VII, 1950, 233-247.



- [5] Kauderer H.: *Nonlinear Mechanics*. Springer-Verlag, Berlin, 1958.
- [6] Lebidziejewski M., Szudek M.: *Wyroby z węgla i grafitu*. WNT, Warszawa 1970.
- [7] Фридман А.М., Барабанов В.Н.: Некоторые особенности методики исследования прочностных свойств графитов при плоском напряженном состоянии, *Зав. Лаб.*, № 9, 1972, 1137-1140.
- [8] Ковальчук Б.И., Лебедев А.А.: Деформационные свойства серого чугуна при плоском напряженном состоянии в условиях низких температур, *Пробл. Проч.*, № 7, 1970, 9-13.
- [9] Надаи А.: *Пластичность и разрушение твердых тел*, ИЛ. 1954.
- [10] Писаренко Г.С., Лебедев А.А.: *Сопротивление материалов деформированию и разрушению при сложном напряженном состоянии*, Киев 1969.
- [11] Писаренко Г.С., Лебедев А.А.: *Сопротивление материалов деформированию и разрушению при сложном напряженном состоянии*, Киев 1976.
- [12] Строков В.И., Барабанов В.Н.: Деформируемость конструкционных графитов в условиях сложного напряженного состояния, *Проб. Проч.*, 7, 1977, 104-107.

#### ПРИМЕНЕНИЕ ФИЗИЧЕСКИ НЕЛИНЕЙНОЙ ТЕОРИИ ТЕРМИЧЕСКИХ НАПРЯЖЕНИЙ

#### В ГРАФИТОВЫХ СРЕДАХ

#### II. АНАЛИТИЧЕСКАЯ ФОРМА КРИВЫХ ДЕФОРМАЦИИ

#### Резюме

В работе сформулированы итерационные последовательности определяющих соотношений для зависимости между тензорами напряжений и деформации. Полученные уравнения тождественны с нелинейными соотношениями Каудерера.

#### THE APPLICATION OF PHYSICALLY NONLINEAR THEORY OF THERMAL STRESS TO GRAPHITE MEDIA

#### II. ANALYTICAL DESCRIPTION OF THE STRESS-STRAIN CURVES

#### Summary

The iterative sequences of constitutive equations are proposed for description of the dependence between stress and strain tensors. Obtained relations constitute the nonlinear Kauderer equations.